

۱۳۹۳ زمستان ۳۷ شماره توسعه جغرافیا

۱۴/۹/۹۰ مقاله وصول

تأمیل نہایت : ۱۰/۶/۱۳۹۱

صفحات : ٤٠ - ٤٩

# ارزیابی دقیق محصولات گسیل‌مندی سنجنده MODIS و ASTER با استفاده از اندازه‌گیری‌های میدانی

مهدی پیرامی<sup>۱</sup>، دکتر محمد رضا میاشری<sup>۲</sup>، دکتر مجید رحیمزادگان<sup>۳</sup>

حکیمہ

پهنه‌بندی گسیل‌مندی سطح یک نیاز مهم سنجش از دور حرارتی می‌باشد. با داشتن مقادیر دقیق گسیل‌مندی، می‌توان دمای سطح را به طور دقیق مشخص نمود که در بسیاری از مطالعات زیست‌محیطی، اقلیمی، و مدل‌های پیش‌بینی هوا کاربرد دارد. با توجه به اهمیت گسیل‌مندی سطح و دقت در برآورد آن، در این مطالعه به بررسی دقت در برآورد گسیل‌مندی برای دو سنجنده MODIS و ASTER پرداخته شده است. برای اعتبارسنجی و بررسی دقت این دو سنجنده از مقادیر گسیل‌مندی اندازه‌گیری شده زمینی و آزمایشگاهی در ۶ منطقه آمریکای شمالی مستخرج از نتایج دیگر محققان استفاده گردیده است. در این تحقیق، گسیل‌مندی سنجنده ASTER از روش TES و محصولات گسیل‌مندی MODIS از دو نسخه ۰۴۱ و ۰۰۵ استخراج گردید. سپس اختلاف مقادیر به دست آمده با مقادیر زمینی محاسبه و آنگاه دقت نتایج به دست آمده از دوسنجنده در دو باند ۸/۵ و ۱۱ میکرون برای تصاویر همزمان این دو سنجنده مقایسه شد. نتایج به دست آمده از تصاویر همزمان این دوسنجنده نشان می‌دهد که سنجنده ASTER در محدوده ۸/۵ میکرون و در تمامی مناطق مطالعه به طور متوسط از دقت بالاتری به میزان ۴۶٪ نسبت به MODIS برخوردار است. همچنین در محدوده ۱۱ میکرون، ASTER بطور متوسط در تمامی مناطق از دقتی در حدود ۷۰٪ برخوردار بوده ولی سنجنده MODIS خطایی بالغ بر ۱۲٪ را دارد. میزان خطا در سنجنده MODIS برای پوشش‌هایی که گسیل‌مندی واقعی آنها نسبتاً پایین باشد بیشتر نیز می‌گردد. در مجموع سنجنده ASTER نسبت به سنجنده MODIS نتایج قابل ترجیح ارائه می‌دهد. توصیه می‌شود که از این یافته در زمان استفاده از گسیل‌مندی در مدل‌های هوای‌شناسی و در دیگر کاربردهایی که نیازمند گسیل‌مندی دقیق است بهره‌برداری شود.

. NAALSED، ASTER MODIS، اندازه‌گیری زمینی، گسیل‌مندی، کلیدواژه‌ها:

**mehdi\_bahramia00@yahoo.com  
mobasher@kntu.ac.ir  
rahimzadegan@kntu.ac.ir**

- ۱- دانشجوی دکتری سنجش از دور، دانشگاه صنعتی خواجه نصیرالدین طوسی
- ۲- دانشیار سنجش از دور، دانشگاه صنعتی خواجه نصیرالدین طوسی (نویسنده مسؤول)
- ۳- استادا، منابع آب، دانشگاه صنعتی خواجه نصیر الدین طوسی.

گسیلمندی این سنجنده‌ها از اهمیت خاصی برخوردار است. جاکوب و همکارانش در سال ۲۰۰۴ مقایسه‌ای بین گسیلمندی به دست آمده از تصاویر MODIS و ASTER در باندهای مشترک ۸/۵ و ۱۱ میکرون این دو سنجنده با مطالعه بر روی بیابان‌های Chihuahuan در امریکا و Savannah در افریقا انجام دادند. در این رابطه برای محاسبه‌ی گسیلمندی ASTER از الگوریتم <sup>۵</sup>TES و برای MODIS از الگوریتم <sup>۶</sup>TISIE استفاده کردند. اختلاف مشاهده شده بین مقادیر گسیلمندی این دو سنجنده، در محدوده ۰/۰۰۵ تا ۰/۰۱۵ گزارش شده است.

اشموگ و اوگاوا در سال ۲۰۰۵ با اعمال الگوریتم TES بر روی تصاویر اخذ شده سنجنده ASTER از منطقه علفزار Jornada و منطقه White Sands با پوشش گچ، واقع در New Mexico امریکا به اختلاف ۰/۰۲ بین مقادیر به دست آمده و مقادیر اندازه‌گیری شده توسط رادیومتر CIMEL312 برای ۵ باند حرارتی رسیدند.

هالی و هوک در سال ۲۰۰۹ مقایسه‌ای بین نسخه‌های متفاوت ارائه شده از محصولات گسیلمندی سنجنده MOD11B1 (MODIS) در دوره‌ی زمانی Jul-Sep 2004 با استفاده از مقادیر آزمایشگاهی شن‌های بیابان Namib در کشور Namibia واقع در جنوب قاره افریقا انجام دادند. نتایج به دست آمده نشان داد که میانگین اختلاف‌های گسیلمندی MODIS و مقادیر آزمایشگاهی در باندهای ۳۱، ۲۹ و ۳۲ MODIS برای نسخه‌های ۴/۱ و ۴/۵ به ترتیب برابر با ۰/۰۶، ۰/۰۵ و ۰/۹۳ درصد در طول دوره‌ی زمانی بوده و بیشینه اختلاف گزارش شده، در باند ۲۹ MODIS است که برای هر سه نسخه به ترتیب برابر با ۴/۱، ۲/۹۶ و ۸/۶۴ درصد برآورد گردیده است.

## مقدمه

سنجدش از دور حرارتی شاخه‌ای از سنجدش از دور است که در آن تابش‌های ساطع شده از سطح هدف، اندازه‌گیری می‌شود (علوی‌پناه، ۱۳۱۵: ۲۴۹). در طبیعت اغلب اجسام توان تابشی کمتری نسبت به جسم خود سیاه هم‌دمای دارند، در واقع توان تابشی یا همان گسیلمندی کمیتی وابسته به خصوصیات ذاتی و درونی، آرایش اتمی و ساختار مولکولی مواد است و با نسبت تابش حرارتی یک جسم در دمای معلوم به تابش جسم سیاه هم‌دمای آن در یک طول موج معین تعريف می‌شود (مبادری، ۱۳۱۹: ۵۱؛ Jensen, 2000: 255).

با داشتن مقادیر دقیق گسیلمندی، می‌توان دمای سطح را که در بسیاری از مطالعات زیستمحیطی از جمله تعیین تنش و تعرق گیاه، تعیین ظرفیت حرارتی و ظرفیت‌گرمایی ویژه‌ی مواد معدنی (Vaughan et al, 2005: 140-158)، مطالعه‌ی کیفیت هوا و دمای سطح دریاها و حتی در پیش‌بینی زلزله (علوی‌پناه، ۱۳۱۵: ۲۶۴) کاربرد دارد، بطور دقیق مشخص نمود. محصولات گسیلمندی و دمای سطح پارامترهای کلیدی مورد استفاده برای مطالعه دینامیک‌سطح، مدل‌های هوشناسی (Jin & Liang, 2006: 2867-288؛ Zhou et al, 2003: 4795) و تعامل سطح و جو می‌باشد. سال‌هاست که گسیلمندی و دمای سطح (LST&E)<sup>۱</sup> توسط سنجنده‌هایی از جمله MODIS (Susskind et al, 2003: 390-409)، AIRS (ASTER (Hulley et al, 2009: 1313-1318) و Wan, 2008: 59-74) (Gillespie et al, 1998: 1113-1126) برآورد می‌شود. البته محصولات این سنجنده‌ها اغلب دارای تفاوت‌هایی هستند که ناشی از قدرت تفکیک مکانی، طیفی و زمانی این سنجندها و همچنین الگوریتم‌های مورد استفاده هر یک می‌باشد. با توجه به اهمیت میزان دقت در گسیلمندی، اعتبارسنجی محصولات

1-Land Surface Temperature and Emissivity

2-Atmospheric Infrared Sounder

3-Moderate-Resolution Imaging Spectrometer

4-Advanced Spaceborne Thermal Emission&Reflection Radiometer

اعتبارستجوی و بررسی دقت این دو سنجنده از مقادیر گسیلمندی اندازه‌گیری شده زمینی و آزمایشگاهی استفاده گردیده است. این مطالعه نشان خواهد داد که محصولات گسیلمندی MODIS که بطور رایگان در اختیار عموم قرار دارد، تا چه حد می‌تواند قابل اعتماد باشد.

**مناطق مورد مطالعه و داده‌های مورد استفاده**  
برای انجام این تحقیق نیاز به مقادیر زمینی و آزمایشگاهی گسیلمندی بود. در این رابطه مناطقی مورد مطالعه قرار گرفت که در آن اندازه‌گیری‌های زمینی انجام شده و اطلاعات مربوط به آن قابل دسترس باشد. برای این منظور منطقه‌ی مورد مطالعه در امریکای شمالی انتخاب شد. هالی و هوک در سال ۲۰۰۹ کلیه تصاویر قبل استفاده سنجنده ASTER در امریکای شمالی را در سال‌های ۲۰۰۰ تا ۲۰۰۸ جمع‌آوری کرده و متوسط گسیلمندی به دست آمده در طول این سال‌ها را برای هر ۵ باند حرارتی ASTER به همراه متوسط دمای سطح در گریدهای ۱۰۰ متری در سرتاسر امریکای شمالی به دست آورده و در نهایت یک پایگاه داده از گسیلمندی سنجنده ASTER در سراسر امریکای شمالی (NAALSED)<sup>۲</sup> ایجاد کردند. هوک و هالی برای ارزیابی دقت داده‌های این پایگاه و مقایسه آنها با مقادیر زمینی، چندین منطقه‌ی مناسب را برای ارزیابی دقت کار خود مورد بررسی قرار دادند بطوری که در محیط آزمایشگاهی از نمونه‌های برداشت شده از این مناطق بیانی تغییرناپذیر<sup>۳</sup> با پوشش شنی، گسیلمندی را در طول موج‌هایی در محدوده ۲/۵ تا ۱۵ میکرون محاسبه کردند. اندازه‌گیری‌های زمینی در اوخر بهار و اوایل تابستان سال ۲۰۰۸ در چندین مرحله نمونه‌برداری در محدوده‌ی یک کیلومترمربع برای هر منطقه انجام شد.

سابل و همکاران در سال ۲۰۰۹ گسیلمندی سنجنده ASTER را در مناطقی از جمله، دریاچه Tahoe و دریای California در Salton Railroad در Nevada جزیره Hawai با مقادیر آزمایشگاهی مورد ارزیابی قرار دادند. برای این کار با اعمال الگوریتم TES بر روی تصاویر جمع‌آوری شده در سال‌های ۲۰۰۷ تا ۲۰۰۰ از سنجنده ASTER به دقت‌هایی در محدوده‌ی  $15 \pm 10\%$  در مناطق مورد مطالعه رسیدند. هالی و هوک در سال ۲۰۰۹، از مجموعه تصاویر سال‌های ۲۰۰۰ تا ۲۰۰۸ با اعمال الگوریتم TES یک پایگاه داده از گسیلمندی سنجنده ASTER در آمریکای شمالی به دست آورده و نتایج خود را با اندازه‌گیری‌های زمینی و آزمایشگاهی در ۹ منطقه از امریکا ارزیابی کردند. نتیجه به دست آمده نشان داد که میانگین اختلاف بین مقادیر آزمایشگاهی و مقادیر ASTER برای ۹ منطقه در ۵ باند حرارتی ASTER حدود  $16 \pm 10\%$  است که این اختلاف می‌تواند خطای به اندازه ۱ درجه کلوین در برآورد دمای سطح (در محدوده‌ی ۳۰۰ درجه کلوین) ایجاد کند.

بارتو و همکاران در سال ۲۰۱۰ به بررسی دقت سنجنده ASTER در ۵ باند حرارتی با اندازه‌گیری میدانی و به کارگیری پروفایل‌های محلی برای اصلاح Volcanic واقع در جزیره Tenerife با پوشش مواد مذاب آتشفسانی شامل Silicon Dioxide (SiO<sub>2</sub>) در گشور اسپانیا پرداختند. نتایج حاصله از اعمال الگوریتم TES ۲۰۰۸ بر روی تصاویر اخذ شده از منطقه در سال ۲۰۰۸ حاکی از RMSD<sup>۱</sup> برابر با  $0.02 \pm 0.01$  برای باندهای ۱۳ و ۱۴ و  $0.015 \pm 0.01$  برای باندهای ۱۱ و ۱۰ بود. با توجه به موارد و کاربردهای بیان شده در مورد گسیلمندی سطح و دقت در برآورد آن، در این مطالعه به بررسی دقت در برآورد گسیلمندی برای دو سنجنده MODIS و ASTER بطور همزمان پرداخته شده است و برای

این ۶ منطقه با نام‌های GreatSands، White Sands، Kelso و Algodones، Little Sahara، Stovepipe wells که برای این تحقیق جهت مطالعه در نظر گرفته شده نشان داده شده است (Hook & Hulley, 2009: 1313-1338).

برای انجام تحقیق حاضر، طبق مکاتباتی که با این پژوهشگران صورت گرفت، اطلاعات گسیل‌مندی زمینی و آزمایشگاهی مربوط به ۶ منطقه بیابانی از آدرس <ftp://pyramidlake.jpl.nasa.gov> دریافت گردید. در جدول ۱ برخی از خصوصیات و ویژگی‌های سطحی

جدول ۱: خصوصیات اصلی هر منطقه مورد مطالعه شامل موقعیت، مساحت، ارتفاع، شیب،

اندازه ذرات، نوع مواد تشکیل‌دهنده و متوسط شاخص<sup>۱</sup> NDVI هر منطقه

نام منطقه و موقعیت آن	مساحت منطقه (کیلومتر مربع)	ارتفاع از سطح دریا	اختلاف ارتفاع موجود در منطقه	ماکریزم اخلاقیار	ماکریزم موجود در منطقه	اندازه نسبی ذرات تشکیل‌دهنده منطقه	ماده اصلی پوشش منطقه	متوسط شاخص NDVI در سال‌های ۲۰۰۸ تا ۲۰۰۰
White Sands (32.89° N, 106.33° W)	704	1216	10	4%	Fine sands	gypsum	0.1	
Great Sands (37.77° N, 105.54° W)	104	2560	230	29%	Medium to coarse sand	quartz, potassium, feldspar	0.11	
Kelso (34.91° N 115.73° W)	115	800	195	17%	Medium sand	quartz, potassium, feldspar	0.09	
Stovepipe Wells (36.62° N, 117.11° W)	7.7	-12	40	24%	Medium sand	quartz, plagioclase feldspar, potassium feldspar	0.05	
Algodones (32.95° N, 115.07° W)	720	94	80	20%	Medium to coarse sand	quartz	0.09	
Little Sahara/Lynndyl (39.7° N 112.39° W)	575	1560	200	28%	Fine sand	quartz, plagioclase feldspar, pyroxene	0.09	

مأخذ: Hook & Hulley, 2009

این ۶ منطقه استفاده شده است. مقادیر گسیل‌مندی سنجنده ASTER و MODIS (Terra) از تصاویری مربوط به سنجنده ASTER و همزمان با آن تصاویر MODIS و محصولات گسیل‌مندی آن استخراج می‌شود که این تصاویر برای ۶ روز متفاوت از آدرس <https://lpdaac.usgs.gov> جمع‌آوری گردید. برای انتخاب تصاویر، می‌بایست از شرایط جوی حاکم بر روزهای انتخاب تصویر اطلاعات

انتخاب مناطقی با تغییرات اندک گسیل‌مندی در طول دوره‌ی زمانی مورد نظر و همچنین خالص بودن منطقه مورد مطالعه از لحاظ نوع پوشش، اهمیت خاصی در ارزیابی و اعتبارسنجی سنجنده‌های مورد مطالعه دارد. با توجه به پایین بودن شاخص NDVI در مناطق ۶ گانه جدول ۱، ملاحظه می‌شود که مناطق انتخاب شده با پوشش شنی، مناطق مناسبی برای ارزیابی دقت می‌باشند. برای ارزیابی و اعتبارسنجی دو سنجنده مورد نظر از مقادیر اندازه‌گیری زمینی گسیل‌مندی در

سطح، سرعت باد، رادیانس خورشید و میزان بارندگی می‌باشد. جدول ۲ تاریخ تصاویر و ایستگاه‌های هواشناسی هر منطقه را مشخص می‌کند.

دقیق داشت. برای این منظور برای هر منطقه از اطلاعات مربوط به نزدیکترین ایستگاه هواشناسی از آدرس <http://www.ncdc.noaa.gov/crn> استفاده شد که این اطلاعات شامل روند تغییرات دمای هوا، دمای

جدول ۲: تاریخ وساعت اخذ تصاویر و ایستگاه‌های هواشناسی و موقعیت آنها

منطقه‌ی مورد مطالعه	تاریخ تصویر ASTER	درصد حضور ابر در تصویر ASTER	تاریخ محصولات گسیل‌مندی MODIS	ایستگاه هواشناسی	موقعیت ایستگاه هواشناسی
White Sands	2008/05/24 17:51:03 GMT	0	2008/05/24 17:55 GMT	NM Las Cruces 20 N	(32.614°,-106.74°)
Great Sands	2008/09/04 17:55:47 GMT	0	2008/09/04 17:55 GMT	CO La Junta 17 WSW	(37.864°,-103.82°)
Kelso	2008/09/14 18:33:45GMT	0	2008/09/14 18:30GMT	CA Fallbrook 5 NE & CA Santa Barbara 11 W	(33.439°,-117.19°) (34.414°,-119.88°)
Stovepipe Wells	2008/04/30 18:39:17 GMT	0	2008/04/30 18:35 GMT	CA Stovepipe Wells 1 SW	(36.602°,-117.14°)
Algodones	2008/09/23 18:28:08 GMT	0	2008/09/23 18:25GMT	CA Fallbrook 5 NE	(33.439°,-117.19°)
Little Sahara/Lynndyl	2008/08/22 18:26:14 GMT	0	2008/08/22 18:25 GMT	NVBaker5W	(39.011°,-114.209°)

مأخذ: *Hook, Halll, 2009*

ارزیابی دقت و مقایسه‌ی تصاویر همزمان دو سنجنده در این مناطق می‌باشد.

در انتخاب این تصاویر سعی بر این بوده است که تا حد ممکن تصاویری انتخاب گردد که اولاً درصد حضور ابر در تصویر ASTER صفر باشد ثانیاً جوی پایدار داشته باشیم و ثالثاً تا حد ممکن بارندگی در حداقل یک هفته قبل از گذر ماهواره‌ها رخ نداده باشد. که بدین منظور در هنگام انتخاب تصاویر از <http://glovis.usgs.gov> تصاویر با درصد پوشش ابر صفر انتخاب گردید. برای اطمینان از وجود جو پایدار و عدم بارندگی در منطقه قبل از گذر ماهواره، از اطلاعات ایستگاه‌های ذکر شده استفاده گردید. به طور کلی در این تحقیق مقادیر زمینی را از طریق مکاتبه با محققان امریکایی به دست آورده و سپس تصاویر دو سنجنده از هر منطقه جمع‌آوری گردید. در واقع تفاوت این تحقیق با تحقیقات صورت گرفته توسط آقایان هوک و هالی اضافه نمودن سنجنده MODIS برای

مراحل انجام این تحقیق شامل، تهیه داده‌های مورد نیاز، آماده‌سازی تصاویر سنجنده MODIS و ASTER و محاسبه‌ی گسیل‌مندی سنجنده MODIS و ASTER در باندهای حرارتی و مقایسه با مقادیر زمینی بوده است. سپس به مقایسه‌ی دقت گسیل‌مندی ASTER و MODIS در باندهای مشترک و تجزیه و تحلیل نتایج پرداخته شده است.

- استخراج گسیل‌مندی از تصاویر سنجنده ASTER سنجنده ASTER که در دسامبر سال ۱۹۹۹ بر روی ماهواره Terra به فضا پرتاب، دارای ۵ باند حرارتی با قدرت تفکیک مکانی ۹۰ متر است. مشاهدات مربوط

رابطه ۳:

$$L_{g,j} = LSj - Ljatm \uparrow \tau_j$$

تابش‌هایی که توسط سنجنده دریافت می‌شوند باید نسبت به تأثیرات جوی تصحیح شوند تا تابش گسیل یافته واقعی سطح ( $L$ ) به دست آید.

رابطه ۴:

$$L_j = L_{g,j} - \varepsilon_j L_{sky}$$

روش TES وابسته به تابش واقعی زمین است که در آنجا  $T$  و  $\varepsilon$  با یکدیگر ترکیب شده‌اند بنابراین برای سنجنده ASTER با ۵ باند حرارتی ۶ مجھول وجود خواهد داشت، که شامل ۵ گسیل‌مندی و یک دمای سطح است. الگوریتم TES از مدل NEM استفاده می‌کند که در آن ابتدا یک مقدار اولیه گسیل‌مندی ( $\varepsilon_{max}$ ) برابر با  $0.985$  به منظور محاسبه دما در معادله معکوس پلانک قرار داده می‌شود. بیشنه دمای محاسبه شده از معادله معکوس پلانک که از تابش ۵ کانال حرارتی ASTER به دست آمد، به عنوان دمای مورد استفاده در مدل NEM در نظر گرفته می‌شود. برآورد اولیه از  $T$  و  $\varepsilon$  در مدل Ratio مورد استفاده قرار می‌گیرند. در این مرحله گسیل‌مندی نسبی از نسبت گسیل‌مندی‌های NEM به مقدار متوسط آنها محاسبه می‌شوند. طیف گسیل‌مندی نسبی، شکل گسیل‌مندی واقعی را حفظ کرده ولی دامنه‌ی آن را تغییر می‌دهد. برای بازیابی و بهبود دامنه و تبدیل آن به مقیاس گسیل‌مندی واقعی، مدل اختلاف بیشینه کمینه<sup>۲</sup> (MMD) به کار برده می‌شود و در نهایت گسیل‌مندی در ۵ باند حرارتی به همراه دمای سطح به دست می‌آید.

در این تحقیق الگوریتم TES را بر روی تصاویر دانلود شده اعمال کرده و گسیل‌مندی در ۵ باند حرارتی به همراه دمای سطح محاسبه گردید. با توجه به اینکه موقعیت جغرافیایی نمونه‌های برداشت شده

به گسیل‌مندی سطح در ۵ باند حرارتی ۱۰ تا ۱۴ با مراکز باندهایی به ترتیب  $8/3, 8/6, 9/1, 10/6$  و  $11/3$  میکردن انجام می‌شود. تصاویر اخذ شده برای سنجنده ASTER در این تحقیق به صورت Level-1B می‌باشد. برای این سطح از تصویر تصحیح رادیومتریکی و هندسی صورت گرفته است. قبل از محاسبه گسیل‌مندی و دما برای تصویر ASTER نیاز به تصحیح جوی باندهای حرارتی است که در این تحقیق برای انجام تصحیح جوی در این باندها از تصحیح جوی باندهای حرارتی مبتنی بر روش تصحیح نسبی استفاده گردید.

- اعمال الگوریتم TES<sup>۱</sup>

الگوریتم TES توسط گلیسپی و همکارانش در (۱۹۹۸) طراحی شده است. بر اساس این الگوریتم، تابشی که سنجنده در باند حرارتی  $\tau$  دریافت می‌کند از رابطه‌ی زیر محاسبه می‌شود:

رابطه ۱:

$$LSj = \varepsilon_j L_{jBBT} + 1 - \varepsilon_j L_{sky} \downarrow \tau_j + L_{jatm} \uparrow$$

در اینجا  $\varepsilon$  گسیل‌مندی سطح در طول موج  $\tau$  و  $L_{jBB(T)}$  چگالی شار تابش طیفی راستایی جسم سیاه در دمای سطح  $T$  و  $L_{jsky}$  تابش جوی رو به پایین،  $\tau_j$  قابلیت عبور جوی،  $L_{jatm}^{\uparrow}$  رادیانس مسیر یا تابش جوی LS مسیر که درجهت سنجنده گسیل می‌شود و  $L_{jatm}^{\downarrow}$  تابش طیفی دریافت شده توسط سنجنده است. جمله داخل براکت در معادله فوق بیان کننده‌ی میزان تابش در سطح زمین یا تابش خروجی زمین است.

رابطه ۲:

$$L_{g,j} = \varepsilon_j L_{jBBT} + 1 - \varepsilon_j L_{sky} \downarrow \tau_j$$

در صورتی که پارامترهای جوی  $\tau_j$  و  $L_{jatm}^{\uparrow}$  معلوم باشند عبارت فوق را می‌توان از تابش دریافت شده توسط سنجنده محاسبه کرد.

این تغییرها شامل بهبود در دقت محصولات ورودی (MOD02, MOD03, MOD07, MOD10 and MOD35) برای محاسبه گسیلمندی و همچنین الگوریتم محاسبه گسیلمندی می‌باشد که هدف آن بهبود در پوشش مکانی و پایداری در محصولات گسیلمندی و دمای سطح است. نسخه ۰۴۱ یک نسخه میانی می‌باشد که تفاوت آن با نسخه ۰۰۵ در میزان بهبود الگوریتم محاسبه گسیلمندی می‌باشد. MODIS محصولات گسیلمندی را از سال ۲۰۰۷ به بعد تنها در دو نسخه ۰۰۵ و ۰۰۷ ارائه می‌دهد MOD11-L2 شامل گسیلمندی باند ۳۱ و ۳۲ و دمای سطح در پیکسل‌های ۱ کیلومتری برای هر دو نسخه می‌باشد درحالی که MOD11-B1 شامل گسیلمندی باندهای ۳۱، ۳۲، ۲۰، ۲۲، ۲۹، ۳۱ در پیکسل‌های ۶ و ۵ کیلومتری به ترتیب در نسخه‌های ۰۰۵ و ۰۰۷ است. الگوریتم برآورد گسیلمندی و دمای سطح برای جفت روز و شب<sup>۱</sup> و روش پنجره‌محاجزا<sup>۲</sup> (SW) می‌باشد. در ادامه در مناطق موردمطالعه، پیکسلی که نزدیکترین موقعیت به مناطق مورد مطالعه دارد تعیین شد و گسیلمندی در باندهای متفاوت و قدرت تفکیک‌مکانی متفاوت در دو نسخه استخراج می‌گردد. نتایج به دست آمده در بخش بعد با واقعیت زمینی مقایسه خواهد گردید.

### تجزیه و تحلیل نتایج

- بررسی دقت گسیلمندی مستخرج از ASTER در شکل ۱ مقایسه گسیلمندی به دست آمده از تصاویر اخذ شده در ۵ باند حرارتی توسط اعمال الگوریتم TES بر روی تصاویر ASTER با مقادیر زمینی مطابق با ۵ باند حرارتی، برای ۶ منطقه‌ی مورد مطالعه نشان داده شده است.

1- Day and Night Pair  
2- Split Window

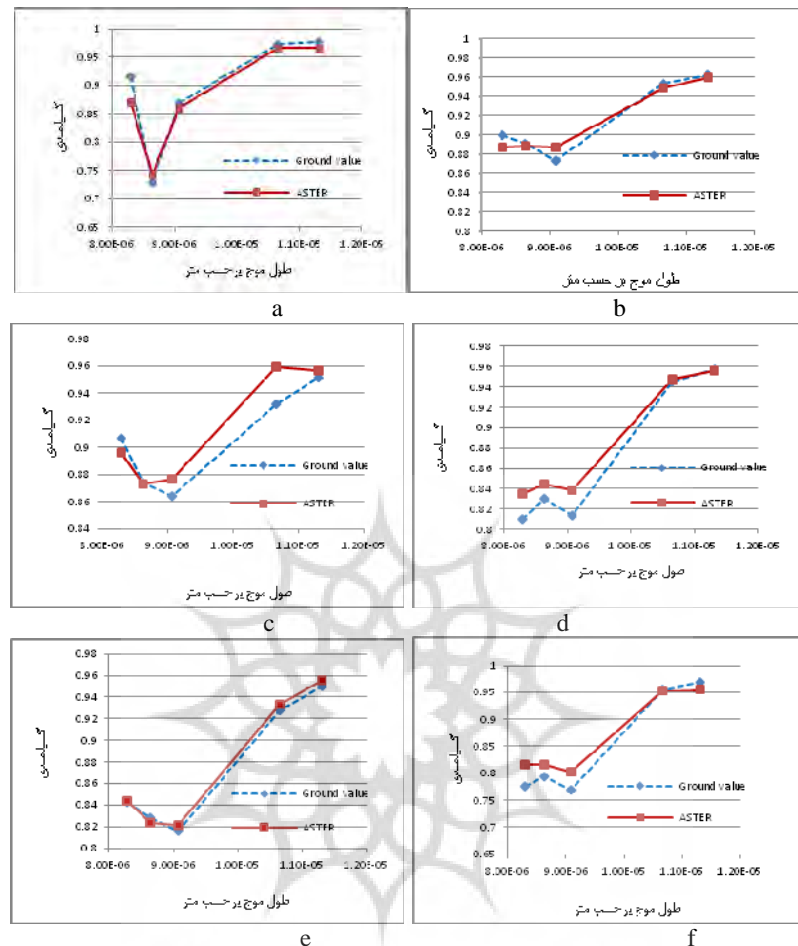
محدوده‌ی حدود ۱ کیلومتری (۱۱×۱۱ پیکسل) ASTER را شامل می‌گردد، برای به دست آوردن گسیلمندی این نمونه‌ها از تصاویر ASTER پیکسل‌هایی که موقعیت داده شده را پوشش می‌دهد، انتخاب گردید و گسیلمندی متوسط برای این پیکسل‌ها در هر باند محاسبه شد. برای رسیدن به دقت بهتر از بین پیکسل‌ها، پیکسلی انتخاب گردید که در فضای اقلیدسی مطابق با رابطه ۵ مقادیر گسیلمندی آن نزدیک به مقادیر زمینی باشد.

رابطه ۵ :

$$RMSE_{n,j} = \sqrt{\frac{1}{n} \sum_{j=1}^n (E_{nj} - E_{nj})^2}$$

که در این رابطه  $E$  برابر شماره باندهای سنجنده ASTER و  $E_{nj}$  مقدار گسیلمندی زمینی در باند  $j$  است.  $N=1, 2, \dots, 400$  شماره پیکسل و  $E_{nj}$  گسیلمندی پیکسل  $n$  در باند  $j$  است.  $RMSE_n$  نشان‌دهنده‌ی فاصله گسیلمندی پیکسل  $n$  ام با مقدار زمینی در فضای اقلیدسی می‌باشد. پیکسل مورد نظر ما پیکسلی است که کمترین،  $RMSE$  را داشته باشد. نتایج به دست آمده در ادامه ارائه خواهد شد.

- استخراج گسیلمندی از تصاویر سنجنده MODIS برای استخراج گسیلمندی در مناطق مورد نظر، محصولات گسیلمندی (MOD11-L2 MOD11-B1, MOD35) این سنجنده به همراه محصولات دیگر مانند MOD03 و MOD03 مورد استفاده قرار می‌گیرد. معمولاً محصولات گسیلمندی این سنجنده در سه نسخه ۰۰۴، ۰۰۵ و ۰۰۷ ارائه می‌گردد که تفاوت این سه نسخه در نحوه برآورد گسیلمندی می‌باشد. هشت تغییر جدید برای تولید محصولات گسیلمندی و دمای سطح از نسخه ۰۰۴ به نسخه ۰۰۵ صورت گرفته است (Wan, 2008: 59-74).



شکل ۱: مقایسه گسیلمندی به دست آمده از تصویر ASTER و مقادیر زمینی در ۵ باند حرارتی برای ۶ منطقه‌ی مورد مطالعه

a-White Sands b- Stovepipe c- Little Sahara d- Great Sands e-Kelso f- Algodones

مأخذ: بهرامی، ۱۳۹۰

جدول ۳: اختلاف گسیلمندی ASTER و مقادیر زمینی

Region	ASTER minus Ground Value(%)					
	band10	band11	band12	band13	band14	mean
White Sands	-4/7	1/6	-0/8	-0/5	-1/0	1/7
Great Sands	-1/1	-0/1	1/3	2/7	0/6	1/2
Stovepipe Wells	-1/3	-0/3	1/3	-0/5	-0/3	0/7
Kelso	0/1	-0/4	0/5	0/5	0/6	0/4
Algodones	1/4	2/3	3/4	-0/1	-1/2	2/2
Little Sahara	2/5	1/5	2/5	0/3	-0/1	1/4

مأخذ: بهرامی، ۱۳۹۰

با مقادیر زمینی در ۵ باند حرارتی بین ۴/۰ تا ۲/۲ درصد مناطق مختلف می‌باشد.

- بررسی دقت گسیلمندی MODIS در جدول ۴ اختلاف بین گسیلمندی MODIS و مقادیر زمینی در باندهای ۱ و ۳۱ و ۲۹ (برای تصاویر همزمان با ASTER) آمده است.

در جدول ۳ مقدار اختلاف بین گسیلمندی مقادیر زمینی و گسیلمندی به دست آمده توسط سنجنده ASTER در ۵ باند حرارتی برای ۶ منطقه دیده می‌شود. نتایج به دست آمده در جدول ۳ نشان می‌دهد که سنجنده ASTER دارای دقت مناسبی در برآورد میزان گسیلمندی است. همانطورکه ملاحظه می‌شود، میزان میانگین قدر مطلق اختلاف نتایج به دست آمده

جدول ۴: اختلاف گسیلمندی MODIS و مقادیر زمینی

MODIS minus Ground value (%)						
Region	band31:1k m:v005	band31:1k m:v041	band31:6k m:v005	band31:5k m:v041	band29:6k m:v005	band29:5k m:v041
White Sands	۰/۱	۰/۱	۰/۸	۱/۴	۲۲/۶	۸
Great Sands	۲/۲	۲/۲	۴	۴	۱۰/۶	۱۰/۴
Stovepipe Wells	۰/۶	۰/۶	۱/۲	-۱/۶	۳/۷	۲/۹
Kelso	۲/۷	۲/۷	۴/۱	۰/۵	۱۱	۴
Algodones	۰/۵	۰/۳	۰/۳	-۴/۱	۵/۱	۲/۹
Little Sahara	۱/۷	۱/۵	۳/۱	-۱/۱	۱۴/۸	۵/۸
mean	۱/۳	۱/۲۳	۲/۲۵	۲/۱۱	۱۱/۳	۵/۶۷

مأخذ: بهرامی، ۱۳۹۰،

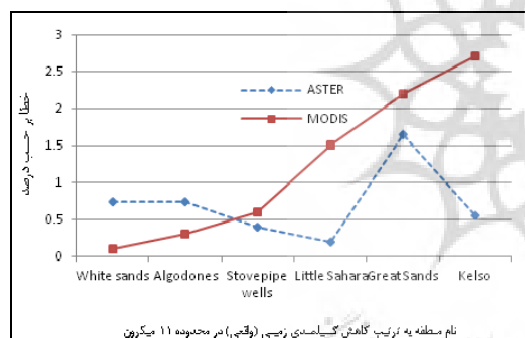
مقایسه گسیلمندی تصاویر همزمان MODIS و ASTER همانطور که در جدول ۲ نشان داده شد تصاویر اخذشدهی MODIS و ASTER با فاصله زمانی ۱ دقیقه اخذ شده‌اند، که این امر حاکی از یکسان بودن شرایط جوی برای هر دو سنجنده بوده و قابلیت مقایسه گسیلمندی این دو سنجنده در باندهای مشترک را فراهم می‌سازد. همانطور که در شکل ۲ دیده می‌شود باند ۲۹ MODIS مطابق با باند ۱۱ ASTER و باند ۳۱ MODIS دارای همپوشانی با باندهای ۱۳ و ۱۴ ASTER می‌باشد.

با دقت در جدول ۴ ملاحظه می‌شود که بطور کلی نتایج در نسخه ۰۰۵ نسبت به نسخه ۰۰۱ از دقت بالاتری برخوردار است. این برتری دقت در پیکسل‌های ۱ کیلومتری کمتر و در پیکسل‌های ۵ کیلومتری به خصوص در باند ۲۹ مشهودتر می‌باشد. بطور کلی ملاحظه می‌گردد که محصولات MODIS در باند ۳۱ و در قالب پیکسل‌های ۱ کیلومتری نسبت به پیکسل‌های ۵ و ۶ کیلومتری از دقت بالاتری برخوردار است که دلیل این امراض ایش احتمال وجود پیکسل‌های مختلط در اندازه‌های ۵ و ۶ کیلومتری و همچنین تفاوت در الگوریتم برآورد گسیلمندی می‌باشد. از طرفی با توجه به اینکه شفافیت جو در باند ۳۱ نسبت به باند ۲۹ بیشتر است به نظر می‌رسد که نتایج بهتر باند ۳۱ نسبت به باند ۲۹ قابل توجیه است.

برای مقایسه دیگر باندهای مشترک این دو سنجنده با توجه به اینکه باند ۳۱ MODIS (۱۱ میکرون) دارای همپوشانی با باندهای ۱۳ و ASTER ۱۴ می‌باشد، لازم است تا میانگین قدر مطلق اختلاف گسیل‌مندی ASTER با مقدار زمینی را در ۲ باند ۱۳ و ۱۴ مطابق رابطه ۶ محاسبه گردد و با اختلاف گسیل‌مندی MODIS با مقدار زمینی در باند ۳۱ مقایسه گردد.

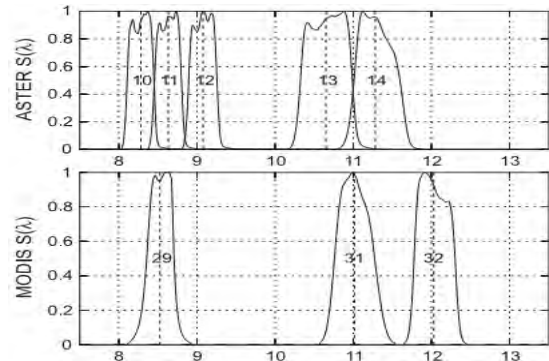
$$Sm = (S13 + S14)/2 \quad \text{رابطه ۶}$$

که در آن  $S13$  و  $S14$  به ترتیب اختلاف گسیل‌مندی ASTER با مقدار زمینی در باند ۱۴ و ۱۳ می‌باشد. در شکل ۴ مقایسه‌ای بین دقت (v041:1km) MODIS و ASTER در این محدوده (۱۱ میکرون) صورت می‌گیرد.



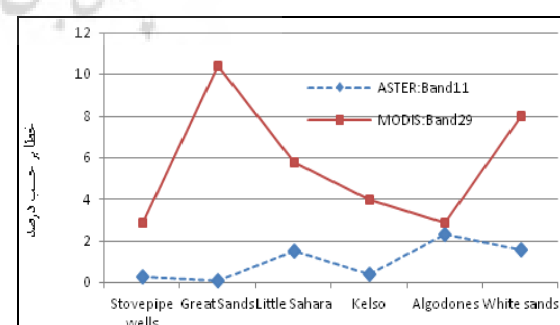
شکل ۴: میزان اختلاف گسیل‌مندی مشترک ۱۱ میکرون زمینی در محدوده مشترک ASTER و MODIS با مقدار زمینی در نزدیکی کاهش گسیل‌مندی زمینی (وقتی) در محدوده ۱۱ میکرون  
مأخذ: بهرامی، ۱۳۹۰

با توجه به شکل ۴ ملاحظه می‌شود در محدوده ۱۱ میکرون سنجنده ASTER دقت مناسبی در کل مناطق می‌باشد. اما سنجنده MODIS دارای نوسان زیادی در دقت می‌باشد و میزان خطای MODIS با کاهش گسیل‌مندی واقعی (زمینی) به شدت افزایش می‌یابد. متوسط دقت به دست آمده در کل مناطق برای سنجنده ASTER و MODIS به ترتیب برابر با  $0.7\%$  و  $1.2\%$  درصد به دست آمده است.



شکل ۲: باندهای حرارتی سنجنده ASTER و MODIS  
مأخذ: Jacob, 2004

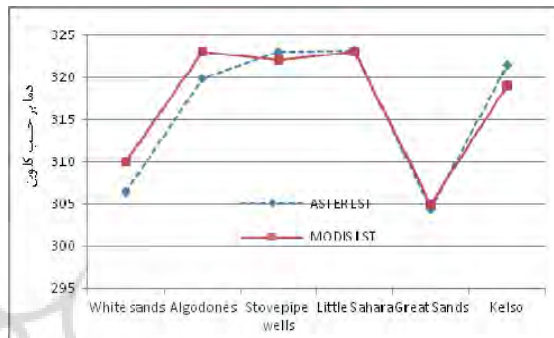
در شکل ۳ میزان اختلاف گسیل‌مندی برآورد شده توسط سنجنده MODIS در باند ۲۹ نسخه ۰۴۱ با مقدار زمینی و همچنین اختلاف گسیل‌مندی برآورد شده توسط سنجنده ASTER در باند ۱۱ با مقدار زمینی نشان داده شده است. با توجه به نتایج به دست آمده ملاحظه می‌گردد که در همهٔ مناطق، نتایج باند ۱۱ سنجنده ASTER به مراتب نسبت به باند ۲۹ MODIS از دقت بالاتری برخوردار است بطوری که متوسط دقت برای کل مناطق در این محدوده برای سنجنده ASTER و MODIS به ترتیب برابر با  $1/0.3$  و  $5/67$  درصد می‌باشد. البته این نکته حائز اهمیت است که گسیل‌مندی MODIS در باند ۲۹، تنها در پیکسل‌های ۵ و ۶ کیلومتری ارائه می‌شود.



شکل ۳: میزان اختلاف گسیل‌مندی MODIS و ASTER با مقدار ۸/۵ میکرون زمینی در محدوده مشترک بهرامی، ۱۳۹۰

برتری ناشی از بالاتر بودن قدرت تفکیک مکانی ASTER نسبت به MODIS و همچنین نحوهی برآورد گسیل‌مندی آن می‌باشد. در محدوده‌ی مشترک ۱۱ میکرون نیز برتری نسبی ASTER نسبت به MODIS دیده می‌شود. با توجه به اینکه کمترین و بیشترین گسیل‌مندی زمینی در محدوده ۱۱ میکرون با مقادیر  $0/939$  و  $0/974$  به ترتیب متعلق به مناطق Kelso و White Sands است، آنچه که از نتایج شکل‌های ۴ برミ‌آید اینست که سنجنده MODIS در مناطقی که گسیل‌مندی آن پایین است دقت پایینی دارد. بالا بودن گسیل‌مندی زمینی آن در محدوده ۱۱ میکرون می‌تواند ناشی از کم بودن تغییرات ارتفاعی این منطقه با توجه به جدول ۱ باشد. با توجه به بالا بود محدوده‌ی مقادیر گسیل‌مندی در محصولات MODIS در باند ۳۱ (۱۱ میکرون) می‌توان ادعا کرد که در مناطقی با گسیل‌مندی واقعی کمتر از  $0/939$  خطای برآورد گسیل‌مندی توسط MODIS به مرتب بیشتر شود و نتایج غیر قابل اعتمادی ارائه دهد. با عنایت به کل نتایج به دست آمده می‌توان گفت که در مجموع نتایج ASTER نسبت به MODIS به واقعیت زمینی نزدیکتر است. با توجه به اینکه مناطقی که مورد مطالعه قرار گرفت، یکنواخت و خالص و بدون پوشش گیاهی هستند، می‌توان نتیجه گرفت که MODIS به علت داشتن پیکسل‌های بزرگ‌تر نسبت به ASTER در مناطقی که از لحاظ پوششی یکنواخت نباشد احتمال وجود پیکسل مخلوط در آن بیشتر بوده و در نتیجه دقت برآورد گسیل‌مندی آن کمتر از نتایج گزارش شده نیز گردد. با توجه به این مطالب می‌توان ادعا کرد که برای استفاده گسیل‌مندی در کاربردهای مختلف در تمامی دنیا از جمله در کشورمان می‌توان از

در شکل ۵ دمای به دست آمده از سطح توسط هر دو سنجنده ملاحظه می‌گردد. با توجه به شکل ۵ ملاحظه می‌گردد که بیشینه اختلاف بین دمای گزارش شده از دوسنجنده در حدود  $4^{\circ}\text{C}$  درجه و در منطقه White Sands می‌باشد.



شکل ۵: مقایسه دمای سطح محاسبه شده توسط ASTER و MODIS از تصاویر همزمان این دو سنجنده  
ماخذ: بهرامی ، ۱۳۹۰

## نتیجه

با توجه به اهمیت دقت گسیل‌مندی برای استفاده در کاربردهای مختلف به عنوان یک پارامتر تعیین کننده، انتخاب و تعیین سنجنده مناسب با دقت بالا اهمیت خاصی دارد. با توجه به نتایج به دست آمده ملاحظه می‌شود که محصولات MODIS بطور کلی در نسخه  $41^{\circ}\text{C}$  عملکرد بهتری نسبت به نسخه  $40^{\circ}\text{C}$  دارد که این نتیجه مشابه با نتایج هالی و هاک در سال  $2009$  است. همچنین در بین محصولات نسخه  $41^{\circ}\text{C}$  نیز، محصولات  $1\text{ کیلومتری آن}$  به علت کمتر بودن احتمال پیکسل مخلوط در آن نسبت به محصولات  $5\text{ کیلومتری عملکرد بهتری دارد. از طرفی سنجنده ASTER با دقتی بین }4^{\circ}\text{C} \text{ تا }2/2^{\circ}\text{ درصد در مقایسه با اندازه‌گیری‌های زمینی عملکرد مناسبی دارد. در مقایسه تصاویر گسیل‌مندی این دوسنجنده در محدوده‌ی مشترک  $8/5$  میکرون، برتری دقت ASTER نسبت به MODIS بطور واضح دیده می‌شود، که این$

- Jacob,F., Petitcolin, F., Schmugge, T., Vermoted, E. French, A., Ogawa, K (2004). Comparison of land surface emissivity and radiometric temperature derived from MODIS and ASTER sensors. *Remote Sensing of Environment*. 90.
- Gillespie,A., Rokugawa, S., Matsunaga, T., Cothern, J. S., Hook, s., & Kahle, A. B (1998). A temperature and emissivity separation algorithm for Advanced Spaceborne Thermal Emission and Reflection Radiometer (ASTER) images. *IEEE Transaction on Geoscince&Remote Senseing*.36.
- Sabol, Jr ,D. E., Gillespie ,A. R., Abbott, E., Yamada, G (2009). Field validation of the ASTER Temperature – Emissivity Separation algorithm. *Remote Sensing of Environment*.113.
- Vaughan, R. G., Hook , S. J., Calvin, W. M., Taranik, J. V (2005). Surface mineral mapping at Steamboat Springs, Nevada, USA, with multi-wavelength thermal infrared images, *Remote Sensing of Environment*. 99 .
- Jensen, J. R (2000). *Remote Sensing of The Environment, An Resource Perspective*
- Susskind,J,Barnet, C. D & Blaisdell, J. M (2003). Retrieval of atmospheric and surface parameters from AIRS/AMSU/HSB data in the presence of clouds. *IEEE Transactions on Geoscience and Remote Sensing*, 41(2).
- Jin, M. L & Liang, S. L (2006). An improved land surface emissivity parameter for land surface models using global remote sensing observations. *Journal of Climate*, 19 (12).
- Zhou, L., Dickinson, R. E., Tian, Y., Jin, M., Ogawa, K., Yu, H., et al (2003). A sensitivity study of climate and energy balance simulations with use of satellite-derived emissivity data over Northern Africa and the Arabian Peninsula. *Journal of Geophysical Research-Atmospheres*, 108(D24).
- Wan, Z (2008). New refinements and validation of the MODIS Land-Surface Temperature/Emissivity products, *Remote Sensing of Environment* 112.
- Barreto, A., Arbelo ,M. , Herna ndez-Leal, P .A. , Casillas, N. C (2010). Evaluation of Surface Temperature and Emissivity Derived from ASTER Data:
- A CaseStudy Using Ground-BasedMeasurements at a Volcanic Site, American Meteorological Society,Vol 17.
- Schmugge, T., Ogawa, K (2005). Validation of Emissivity Estimates from ASTER&MODIS Data, *IEEE Transaction on Geoscince and Remote Sencing*.

برای پهنگندی گسیلمندی استفاده کرد چرا که هم دارای دقت بهتری در برآورد گسیلمندی است و هم قدرت تفکیک مکانی بالاتری نسبت به MODIS دارد.

### تشکر و قدردانی

این نویسنده‌گان بر خود لازم می‌دانند که از مؤسسه California Institute of Technology, Pasadena, (CA,USA) و همچنین آقای هالیوگلین و همکارانشان به خاطر در اختیار قرار دادن اطلاعات مربوط به اندازه گیری های زمینی گسیلمندی که در متن ذکر شده است، تشکر و قدردانی نمایند.

### منابع

- علوی پناه، کاظم (۱۳۸۵). کاربرد سنجش از دور در علوم زمین (علوم خاک)، انتشارات دانشگاه تهران. چاپ دوم.
- مبasherی، محمد رضا (۱۳۸۹). مبانی فیزیک در سنجش از دور و فناوری ماهواره، انتشارات دانشگاه خواجه نصیرالدین طوسی. ویرایش دوم.
- بهرامی، مهدی (۱۳۹۰). ارزیابی دقت محصولات گسیلمندی سنجنده MODIS و ASTER با استفاده از داده‌های هواشناسی و اندازه گیری میدانی، پایان‌نامه کارشناسی ارشد به راهنمایی دکتر مبasherی. دانشگاه صنعتی خواجه نصیر طوسی.
- Hulley, G. C., Hook, S. J., Baldridge, A. M (2009). Validation of the North American ASTER Land Surface Emissivity Database (NAALSED) version 2.0 using pseudo-invariant sand dune sites. *Remote Sensing of Environment*. 07.
- Hulley,G. C., Hook, S. J (2009). Intercomparison of versions 4, 4.1 and 5 of the MODIS Land Surface Temperature and Emissivity products and validation with laboratory measurements of sand samples from the Namib desert, Namibia. *Remote Sensing of Environment*. 113.
- Wan,Z.,Li,Z.L (1997). A physics-based algoritm for retrieving land surface emissivity and temperature from EOS/MODIS data. *IEEE Transaction on Geoscince and Remote Sencing*. 35.